

1,1,1,1-(间羟基苯甲酸-氧甲基)甲烷构筑的一维链状铜配合物的合成与晶体结构

曹成^{1,2} 魏太保¹ 张勤生¹ 鲁彦云¹ 张有明^{*1,2}

(¹生态环境相关高分子材料教育部重点实验室,西北师范大学,兰州 730070)

(²甘肃省高校河西走廊特色资源利用省级重点实验室,河西学院化学化工学院,张掖 734000)

摘要:设计合成了半刚性四足配体 H₄L(H₄L=1,1,1,1-(间羟基苯甲酸-氧甲基)甲烷),在溶剂热条件下合成了其 Cu(II)配位聚合物 [Cu(H₂L)(Py)₂]_n(Py=吡啶),并进行了常规表征,用单晶 X 射线衍射测定了配合物的晶体结构。结果表明此配合物属单斜晶系,C2/c 空间群,a=1.943 0(7) nm,b=0.926 4(3) nm,c=2.784 9(9) nm,β=96.763(3)°,V=4.978(3) nm³,Z=4,F(000)=1 724。配合物中的金属铜离子与 2 个相邻 1,1,1,1-(间羟基苯甲酸-羟甲基)甲烷上的羧基及 2 个吡啶四配位而堆积成一维链状配位聚合物,配体中另外两臂未参与有效配位。Platon 计算表明每个晶胞的溶剂可及体积约为 1.397 nm³(扣除表面原子的范德华半径),占晶胞体积的 28.1%,TGA 分析表明该框架在 236.9 °C 前保持稳定。

关键词:1,1,1,1-(间羟基苯甲酸-氧甲基)甲烷;配位聚合物;晶体结构

中图分类号:O614.121 文献标识码:A 文章编号:1001-4861(2012)12-2530-05

Synthesis and Crystal Structures of a 1D Cu Coordination Polymer Based on Tetrakis[3-(carboxyphenyl)oxamethyl]methane Acid

CAO Cheng^{1,2} WEI Tai-Bao¹ ZHANG Qin-Sheng¹ LU Yan-Yun¹ ZHANG You-Ming^{*1,2}

(¹Key Laboratory of Eco-Environment-Related Polymer Materials of Ministry of Education,
Northwest Normal University, Lanzhou 730070, China)

(²College of Chemistry and Chemical Engineering, Key Laboratory of
Hexi Corridor Resources Utilization of Gansu University, Hexi Universities, Zhangye, Gansu 734000, China)

Abstract: A semi-rigid tetrahedral linker tetrakis [3-(carboxyphenyl)oxamethyl]methane acid (H₄L) and its coordination polymer [Cu(H₂L)(Py)₂]_n (Py=pyridine) were synthesized and characterized by elemental analyses, IR spectroscopy, etc. The single crystal structure show the title complex crystallizes in the monoclinic system with space group C2/c, a=1.943 0(7) nm, b=0.926 4(3) nm, c=2.784 9(9) nm, β=96.763(3)°, V=4.978(3) nm³, Z=4, F(000)=1 724. In the complex each Cu(II) atoms is coordinated with two pyridine and two oxygen atom from two arms of H₂L²⁻, and displays a one-dimensional line topology with the other two arms free. Platon calculation show that the guest accessible volume (1.397 nm³ per unit cell) comprises 28.1% of the unit cell volume. The thermal analysis shows the title compound is stable up to 236.9 °C. CCDC: 817405.

Key words:tetrakis[3-(carboxyphenyl)oxamethyl]methane acid; coordination polymer; crystal structure

羧酸配位聚合物是金属节点与羧酸分子通过配位键或其它的分子间弱作用力经自组装而成的

高度有序结构^[1-6]。该类材料具有丰富的拓扑结构和独特的性质,其在磁学、光学、催化、吸附等诸多领

收稿日期:2012-02-16。收修改稿日期:2012-07-13。

国家自然科学基金(No.21064006);甘肃省自然科学基金(No.1010RJZA018)资助项目。

*通讯联系人。E-mail:weitaibao@126.com

域已被广泛关注,成为近年来配位聚合物及有机金属框架研究的一大热点^[1-7]。在多足配体中,以金刚烷、季戊四醇、三乙醇胺、氨三乙酸等为骨架,以咪唑、吡啶、羧酸等为功能末端基的多功能配体具有灵活多变的结构,刚性可调控,且其侧臂数目可变等诸多优点,可用于构筑结构新颖,具有框架结构的有机金属框架(MOFs)或者多重贯穿的配位聚合物(CPs),例如以1,1,1,1-(对羟基苯甲酸-氧甲基)甲烷为配体,可构筑具有dia,pts,lon,flu,sxa等拓扑结构的新型吸附材料^[8-12]。在本课题组超分子配合物合成及阴离子识别化学研究基础上^[13-17],本文以季戊四醇为骨架,以苯甲酸为配位基,合成了半刚性四足配体1,1,1,1-(间羟基苯甲酸-氧甲基)甲烷(H₄L),并进一步研究了其与铜离子的配位性能,晶体结构表明H₄L与Cu形成了一维链状配位聚合物。

1 实验部分

1.1 试剂与仪器

X-4型显微熔点仪(温度计未校正);Digilab FTS-3000型红外光谱仪(KBr压片);上海辰华仪器公司生产的CHI660B型电化学分析仪;Varian Mercury plus-400 MHz型核磁共振仪,氘代DMSO为溶剂,TMS为内标;PE-2400 C H N元素分析仪;PERKINELMER TG/DTA6300热重分析仪(氮气气氛下,以10 °C·min⁻¹的升温速度从室温到加热至900 °C);所用试剂均为市售分析纯。

1.2 配体的合成

配体H₄L参考文献^[18]合成。在6.64 g(40 mmol)间羟基苯甲酸乙酯及13.8 g(100 mmol)无水K₂CO₃的100 mL DMSO中缓慢加入3.87 g(10 mmol)季戊四溴,N₂保护下于160 °C反应4 d,过滤除去无机盐后减压蒸馏至少量,加入50 mL 2 mol·L⁻¹ KOH,50 mL甲醇,室温下搅拌24 h,以1 mol·L⁻¹ HCl调节pH至1~2左右,抽滤得白色固体,热乙醇洗2次,

即得目标配体H₄L。产率93%,m.p.>300 °C;¹H NMR(DMSO-d₆,ppm,400 MHz)12.66(s,4H),7.21~7.52(m,16H),4.20(s,8H);IR(KBr):3 427(O-H),3 050(O-H),1 688(C=O),1 452(C=C),1 288(C-O),1 242(C-O)cm⁻¹。Anal. Calcd. for C₃₃H₂₈O₁₂ Calcd.(%):C 64.28,H 4.58;Found(%):C 64.34,H 4.42。

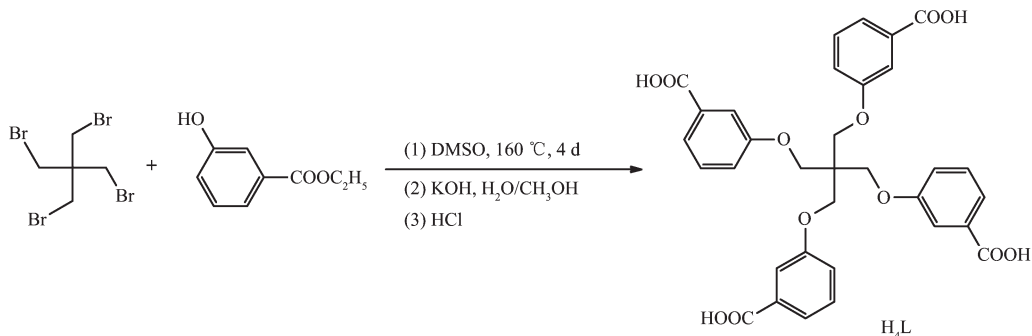
1.3 配合物的合成

将1 mmol 1,1,1,1-(间羟基苯甲酸-氧甲基)甲烷和1 mmol Cu(NO₃)₂·6H₂O加入15 mL吡啶/乙醇/水(V_{Py}:V_{EtOH}:V_{H₂O}=1:1:1)的混合溶液中,用1 mol·L⁻¹的氢氧化钠调节溶液pH值至7~8,然后置于25 mL带有聚四氟乙烯内衬的不锈钢反应釜中,在160 °C下维持4 d后缓慢降至室温,得蓝色晶体。IR(KBr,cm⁻¹):3 446(O-H),3 058.6(C-H),1 610(C=O),1 527(C=C),1 481(C=N),1 332(C-O),1 190(C-O)。Anal. Calcd. for C₄₃H₃₆CuN₂O₁₂(EtOH)(H₂O)₂:calcd.(%):C 58.85,H 5.05,N 3.05;found(%):C 58.81,H 4.99,N,3.11。

1.4 晶体结构的测定

选取大小为0.18 mm×0.15 mm×0.12 mm的标题配合物单晶样品,在Bruker Smart Apex II CCD单晶衍射仪上于室温下收集衍射数据,使用经石墨单色器单色化的Mo K α 射线($\lambda=0.071\text{073 nm}$),以 $\varphi-\omega$ 扫描方式在 $2.43^\circ \leq \theta \leq 25.10^\circ$ 范围内共收集15 122个衍射数据,其中独立衍射数据4 381个($R_{\text{int}}=0.139$), $I > 2\sigma(I)$ 的可观测衍射数据1 766个,晶体结构采用SHELX-97程序由直接法解出并精修^[19],非氢原子坐标和各向异性温度因子均采用全矩阵最小二乘法修正,以理论加氢法确定氢原子在晶胞中的位置。此配合物属单斜晶系,C2/c空间群, $a=1.943\text{0(7) nm}$, $b=0.926\text{4(3) nm}$, $c=2.784\text{9(9) nm}$, $\beta=96.763(3)^\circ$, $V=4.978(3) \text{ nm}^3$, $Z=4$,最后一致性因子 $R_1=0.103\text{3}$, $wR_2=0.269\text{3}$ 。

CCDC:817405。



Scheme 1 Synthesis of ligand H₄L

表1 标题配合物的晶体学数据

Table 1 Crystallographic data of the title complex

Empirical formula	C ₄₃ H ₃₆ CuN ₂ O ₁₂	T / K	293(2)
Molecular weight	836.28	Z	4
Crystal system	Monoclinic	D _c / (g·cm ⁻³)	1.113
Space group	C2/c	Maximum / minimum transmission	0.943 3 / 0.916 6
a / nm	1.943 0(7)	θ range / (°)	2.43~25.10
b / nm	0.926 4(3)	Reflections collected	15 122
c / nm	2.784 9(9)	Independent reflections (R _{int})	4 381 (0.13 9)
α / (°)	90	Data / restraint / parameters	4 381 / 0 / 264
β / (°)	96.763(3)	Final R indices	0.35
γ / (°)	90	(I>2σ(I))	0.103
V / nm ³	4.978(3)	R indices (all data)	0.227 3, 0.103 3

2 结果与讨论

2.1 配位聚合物的结构

晶体的主要键长和键角见表2。

由图1可知,标题化合物的不对称结构单元中包含1个Cu(II),半个H₂L²⁻配体,1个Py配体,参与配位的苯环(C3)与未参与配位的苯环(C11)夹角为106.1°,吡啶环(N1)与苯环(C3)夹角为75.6。图2表明Cu1采取规整的平面正方形*trans*-配位模式,与其配位的4个原子分别来自于2个不同L上的羧基(O3,O3A)和2个吡啶(N1,N1A),Cu1-O3与Cu1-N1的键长非常近似,分别为0.196 7(6)和0.202 7(8)nm,O3A-Cu1-O3及N1-Cu1-N1A键角均为179.998(1)°,

O3A-Cu1-N1及O3-Cu1-N1键角分别为89.8(3)°和90.2(3)°。四足配体中的4个羧基中2个参与配位的羧基发生了脱质子反应,即仅C2和C2B臂参与配位,而C10及C10B臂则没有脱质子且没有参与配位,从而使得该配体的配位模式类似于两足V字形两足配体,且末端羧基均以单齿配位(Cu···O4距离0.264 nm),其配体红外光谱于1688 cm⁻¹的强峰在配合物中位移至1610 cm⁻¹而没有较大程度的减弱也印证了这一点。配体四臂夹角分别为106.9°(C1-C9与C1-C17),114.5°(C1-C9与C1-C9B),116.7°(C1-C17与C1-C17B),106.1°(C1-C9B与C1-C17B),呈近似正四面体分布,链内和链间相邻Cu···Cu间的距离分别为0.926 4 nm和1.076 nm。在整个晶体结构

表2 配合物的主要键长与键角

Table 2 Selected bond lengths (nm) and bond angles (°) of the complex

Cu1-O3A	0.196 7(6)	C9-O3	0.128 8(10)	C3-O1	0.131 3(9)
Cu1-O3	0.196 7(6)	C11-O4	0.134 0(9)	C9-O2	0.122 8(11)
Cu1-N1	0.202 7(8)	C17-O5	0.121 0(10)	C22-N1	0.135 3(12)
Cu1-N1A	0.202 7(8)	C17-O6	0.131 4(11)	C10-O4	0.144 4(9)
C2-O1	0.144 6(9)	C18-N1	0.136 3(14)		
O3A-Cu1-O3	179.998(1)	O3-Cu1-N1	90.2(3)	O3-Cu1-N1A	89.8(3)
O3A-Cu1-N1	89.8(3)	O3A-Cu1-N1A	90.2(3)	N1-Cu1-N1A	179.998(1)
O1-C2-C1	108.1(6)	O1-C3-C4	117.0(8)	O1-C3-C8	124.3(8)
O2-C9-O3	124.1(8)	O2-C9-C7	122.3(8)	O3-C9-C7	113.6(9)
O4-C10-C1	108.2(6)	O4-C11-C12	115.8(7)	O4-C11-C16	125.6(7)
O5-C17-O6	121.5(9)	O5-C17-C15	122.0(10)	O6-C17-C15	116.5(8)
N1-C22-C21	121.6(12)	C22-N1-C18	121.6(10)	C22-N1-Cu1	118.3(8)
C18-N1-Cu1	119.9(8)	C3-O1-C2	117.9(6)	C9-O3-Cu1	104.9(6)
C11-O4-C10	116.6(6)				

Symmetry code: A: -x+1/2, -y+1/2, -z.

中,没有发现强氢键的存在^[20],而分子间C-H···O弱氢键(C···O距离介于0.274~0.339 8 nm之间)维持了结构中较大的空隙,Platon计算表明每个晶胞的溶剂可及体积约为1.397 nm³(扣除表面原子的范德华半径),占晶胞体积的28.1%,结构中可能存在H₂O、EtOH分子等客体分子(图3)^[21]。

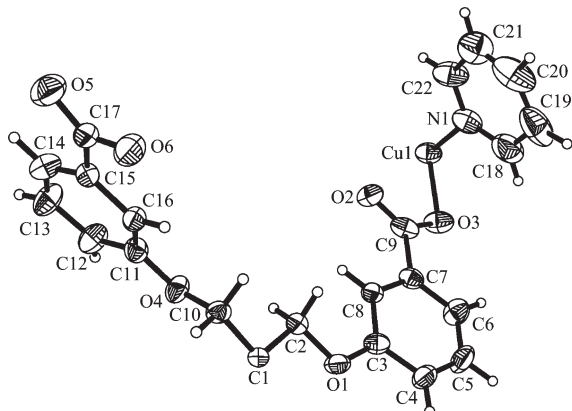
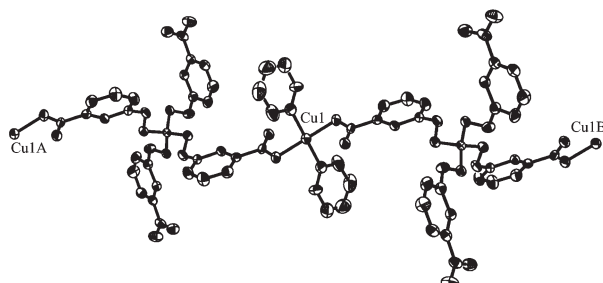


图1 标题配合物的不对称单元

Fig.1 Coordination environment of Cu^{II} in the title complex with 30% ellipsoid

Symmetry code: A: -x+1/2, -y+1/2, -z; B: -x, y, -z+1/2

图2 标题配合物的一维链状结构

Fig.2 1D liner structure of the title complex with 30% ellipsoid

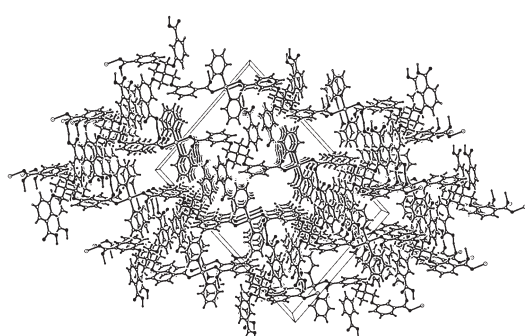


图3 标题配合物的堆积图

Fig.3 Packing diagram viewed the title complex

2.2 红外光谱分析

红外光谱显示配体H₄L在1 688 cm⁻¹的强宽吸

收峰在形成配合物后移动至1 610 cm⁻¹,这可能是羧基脱氢后发生了离域化,配体H₄L在3427 cm⁻¹和配合物在3 446 cm⁻¹表明有结晶水的存在,配合物在3 100 cm⁻¹左右的吸收峰说明可能存在氢键缔合现象,进一步表明在配合物中有游离的H₂O等客体分子存在,也表明了配体分子中的未配位羧基未发生脱质子,从而形成分子间氢键,增加了配合物的稳定性。

2.3 循环伏安(CV)性质

采用三电极体系,以玻碳电极为工作电极,铂丝电极为对电极,饱和甘汞电极为参比电极,0.1 mol·L⁻¹的四丁基高氯酸铵为支持电解质,DMSO为溶剂,测定了配合物的电化学性质。浓度为0.1 mol·L⁻¹,测定之前通N₂除氧15 min后进行测定。图给出了配合物的循环伏安图,扫描范围为-1.5~0.25 V,其扫描速度为0.05 V·s⁻¹,从图3.5中可以看出,配合物发生了氧化还原反应,一对氧化还原峰对应于该配合物在电解过程中电对Cu(II)/Cu(I)的电子转移,其阴极峰电位E_{pc}=0.835 V,峰电流i_{pc}=12.4 μA;其阳极峰电位为E_{pa}=0.637 V,相应的峰电流i_{pa}=43.6 μA,半波电位E_{1/2}=0.736 V,ΔE_{1/2}=0.198 V,i_{pc}/i_{pa}=2.9,表明该配合物的电解过程为准可逆过程。

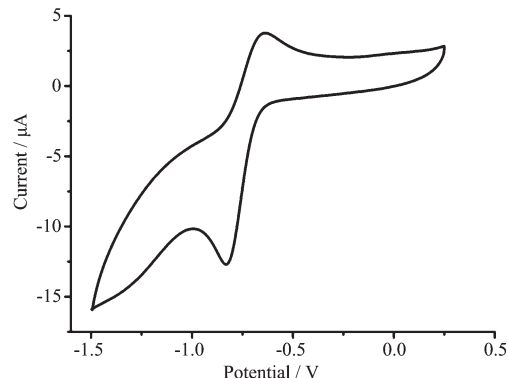


图4 标题配合物的循环伏安曲线

Fig.4 Cyclic voltammograms of the title complex

2.4 配位聚合物的热稳定性

在10 °C·min⁻¹的升温速度下,氮气气氛中,测定了标题配合物的热分解过程,其TGA曲线见图5。由TGA曲线可推测配合物的分解过程可分为3个阶段:第一阶段主要失去结构中空隙内的溶剂分子,失重温度范围为30~236.9 °C,失重率为15.2%;第二阶段是配体1,1,1,1-(间羟基苯甲酸-羟甲基)甲烷的分解,失重温度范围为236.9~488.4°C,失重率为46.2%;第三阶段是形成金属氧化物和碳的过

程,至900℃残余21.1%。

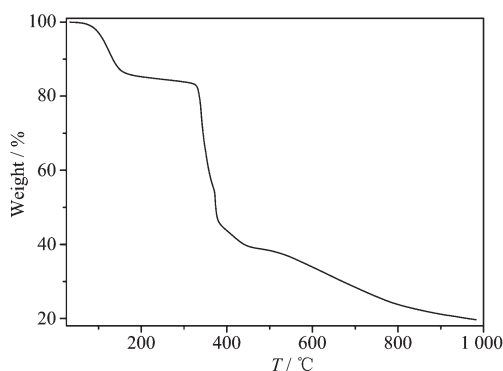


图5 标题配合物的热重分析曲线

Fig.5 Thermal analysis curves of the title complex

参考文献:

- [1] Rowsell J L C, Spencer E C, Eckert J, et al. *Science*, **2005**, **309**:1350-1354
- [2] Choi H S, Suh M P. *Angew. Chem.-Int. Edit.*, **2009**, **48**:6865-6869
- [3] Shekhar O, Liu J, Fischer R A, et al. *Chem. Soc. Rev.*, **2011**, **40**:1081-1106
- [4] Grunker R, Senkovska I, Biedermann R, et al. *Chem. Commun.*, **2011**, **47**:490-492
- [5] Tanaka D, Henke A, Albrecht K, et al. *Nature Chem.*, **2010**, **2**:410-416
- [6] Furukawa H, Ko N, Go Y B, et al. *Science*, **2010**, **329**:424-428
- [7] Guo Z, Cao R, Wang X, et al. *J. Am. Chem. Soc.*, **2009**, **131**:6894-6895
- [8] Bai H Y, Ma J F, Yang J, et al. *Cryst. Growth Des.*, **2009**, **10**:995-1016
- [9] Thallapally P K, Tian J, Radha K M, et al. *J. Am. Chem. Soc.*, **2008**, **130**:16842-16843
- [10] Ren S B, Zhou L, Zhang J, et al. *Cryst. Eng. Comm.*, **2010**, **12**:1635-1638
- [11] Neogi S, Bharadwaj P K. *Cryst. Growth Des.*, **2006**, **6**:433-438
- [12] Kim J, Chen B, Reineke T M, et al. *J. Am. Chem. Soc.*, **2001**, **123**:8239-8247
- [13] Zhang Y M, Pang H X, Cao C, et al. *J. Coord. Chem.*, **2008**, **61**:1663-1670
- [14] Zhang Y M, Lin Q, Wei T B, et al. *Chem. Commun.*, **2009**, **40**:6074-6076
- [15] Wei T B, Wang J, Zhang Y M. *Sci. China Ser. B: Chem.*, **2008**, **51**:1051-1056
- [16] Zhang Y M, Yang L Z, Lin Q, et al. *Transition Met. Chem.*, **2005**, **30**:944-947
- [17] Zhang Y M, Lin Q, Wei T B, et al. *Inorg. Chim. Acta*, **2005**, **358**:4423-4430
- [18] Laliberté D, Maris T, Wuest J D. *J. Org. Chem.*, **2004**, **69**:1776-1787
- [19] Sheldrick G M. *SHELXL-97, Program for the Solution of Crystal Structures*, University of Göttingen, Göttingen, Germany, **1997**.
- [20] Jeffrey G A, Maluszynska H, Mitra J. *Int. J. Biol. Macromol.*, **1985**, **7**:336-348
- [21] Spek A L. *PLATON, A Multipurpose Crystallographic Tool*, The Netherlands, Utrecht University, **2001**.